

مطالعه ایزوتروم و کینتیک جذب کروم شش ظرفیتی بر روی دانه های آلزینات کلسیم در محلولهای آبی

قدرت الله شمس خرم آبادی^۱، رضا درویشی چشممه سلطانی^۲، عباس رضایی^۳، احمد جنیدی جعفری^۴

۱-دانشیار گروه بهداشت محیط، دانشکده بهداشت و تغذیه دانشگاه علوم پزشکی لرستان

۲-دانشجوی دکتری بهداشت محیط، دانشکده علوم پزشکی دانشگاه تربیت مدرس

۳-دانشیار گروه مهندسی بهداشت محیط دانشکده علوم پزشکی دانشگاه تربیت مدرس

۴-دانشیار گروه بهداشت محیط، دانشکده بهداشت دانشگاه علوم پزشکی تهران

یافته / دوره سیزدهم / شماره ۹۰ / تابستان ۹۰ / مسلسل ۱۴۸

چکیده

دریافت مقاله: ۱۳۹۰/۱۱/۰۹ ، پذیرش مقاله: ۱۳۹۰/۱/۱۵

*** مقدمه:** یکی از مهمترین معضلات زیست محیطی آلودگی آب و خاک به فلزات سنگین است. در این راستا هدف از این مطالعه حذف زیستی کروم (VI) از محلولهای آبی با استفاده از آلزینات کلسیم و تعیین محللهای ایزوتروم و کینتیک جذب بود.

*** مواد و روش‌ها:** با استفاده از راکتور جریان نایپوسسه، ظرفیت جذب زیستی آلزینات کلسیم جهت جذب کروم (VI) تحت تأثیر pH ، زمان اختلاط و غلظت فلز تعیین گردید. جهت تعیین باندهای فعال در جذب و تعیین خصوصیات جاذب از آنالیز اسپکتروفوتومتر مادون قرمز و میکروسکوپ الکترونی استفاده شد.

*** یافته‌ها:** با توجه به آنالیز اسپکتروفوتومتر مادون قرمز نشان داده شد که باندهای کربوکسیل و هیدروکسیل می‌توانند مهمترین نقش را در جذب کروم (VI) بر روی آلزینات کلسیم داشته باشند. pH بهینه^۴ جهت جذب کروم (VI) بر روی آلزینات کلسیم بدست آمد. تطابق مطلوبی بین داده‌های آزمایشگاهی و ایزوترومهای مورد مطالعه بدست آمد ($R^2 > 0.9$). ماکریزم ظرفیت آلزینات کلسیم جهت جذب زیستی کروم (VI) ۸۴/۷۵ میلیگرم بر گرم بدست آمد. متوسط انرژی آزاد جذب کروم (VI) بر روی آلزینات کلسیم (E) ۹/۱۲۹ کیلوژول بر مول بدست آمد. علاوه بر آن، مدل کینتیکی درجه دوم کاذب نسبت به مدل درجه دوم کاذب جهت تطبیق داده‌های آزمایشگاهی مناسب‌تر گزارش شد ($R^2 > 0.97$) و در طی ۱۲۰ دقیقه تعادل جذب حاصل گردید.

*** بحث و نتیجه‌گیری:** با توجه به مدل دوبنین رادوشویچ می‌توان ابراز داشت که فرآیند جذب کروم (VI) بر روی آلزینات کلسیم مکانیسمی شیمیایی دارد. همچنین با توجه به ماکریزم ظرفیت جذب بدست آمده می‌توان ابراز داشت که آلزینات کلسیم جهت جذب زیستی کروم کارآمد و مؤثر است.

*** واژه‌های کلیدی:** جذب زیستی، کروم (VI)، آلزینات کلسیم، ایزوتروم، کینتیک.

مقدمه

گروه‌های کربوکسیل guluronic acids(G) می‌باشند که حاوی گروه‌های کربوکسیل هستند که این گروه توانایی کمپلکس کردن یونهای فلزات سنگین را دارند(۱۱و۲). یکی از مهمترین و پرکاربردترین پلیمر زیستی جهت جذب زیستی یونهای فلزی از محلول‌های آبی آلزینات بوده است(۱۲). جاذب زیستی غیرزنده معمولاً به شکل پودر استفاده شده‌اند که مشکلاتی نظیر جداسازی جاذب پودر شده از محلولهای آبی را در پی دارد(۷). از این لحاظ در این مطالعه جذب زیستی کروم(VI) از محلول‌های آبی با استفاده از آلزینات کلسیم به شکل دانه مورد بررسی قرار گرفت. تأثیر pH و زمان اختلاط بر روی ظرفیت جذب و مطالعه ایزوترم و کینتیک جذب مورد مطالعه و ارزیابی قرار گرفت.

مواد و روش‌ها

۱-۲- سنتز جاذب زیستی: آلزینات سدیم به مدت یک ساعت جهت تهیه یک محلول ۰/۲٪ در آب دیونیزه همراه شد و جهت خارج شدن حباب‌های موجود، مخلوط حاصل به مدت ۲ ساعت در حالت ثبات نگهداری گردید. پس از دستیابی به یک مخلوط متجانس و هموزن، مخلوط حاصل با استفاده از یک سرنگ بر روی محلول کلرید کلسیم (CaCl_2 ۰/۵ M) تحت شرایط اختلاط ثابت چکانده شد. در نهایت پس از شکل گیری دانه‌های آلزینات سوسپانسیون حاصل به مدت ۲۴ ساعت درون یخچال نگهداری شد. با استفاده از فیلتراسیون دانه‌های حاصل از سوسپانسیون جداسازی شده و جهت شکل گیری اندازه واقعی، دانه‌های آلزینات کلسیم به مدت ۴۸ ساعت در دمای اتاق نگهداری شدند. سیستم جریان ناپیوسته با استفاده از ارلن مایرهای ۱۰۰ میلی لیتری و شیکر با ۱۵۰ دور در دقیقه به مدت ۳۶۰ دقیقه تا دستیابی به زمان تعادل جذب جهت آزمایشات در دمای اتاق($25\pm1^\circ$) به کار برد شد. pH و زمان تماس بهینه جهت جذب زیستی کروم(VI) تعیین گردید سپس آزمایشات از طریق مقادیر بهینه بدست آمده صورت گرفت. جهت دستیابی به

یونهای فلزات سنگین یکی از مهمترین نگرانیهای زیست محیطی هستند(۱). این یونها می‌توانند از طریق فعالیتهای صنعتی مختلف در محیط زیست وارد شوند (۲). فلزات سنگین تمایل به تجمعی در زنجیره غذایی دارند بنابراین می‌توانند تهدید جدیدی جهت زندگی حیوانی و گیاهی باشند (۳)، کروم اغلب به صورت کروم(VI) و کروم(III) در محیط وجود دارد (۴). کروم (VI) سمی تراز کروم(III) است (۵). کروم(VI) سمی است و به عنوان فلز سلطان‌زا شناخته شده است (۴و۵). همچنین کروم(VI) در خاک و محیط‌های آبی و خاکی خیلی سیال است و عاملی اکسید کننده است که می‌تواند باعث ایجاد درماتیت شده و آلرژیهای پوستی را تحریک نماید (۶). روش‌های سنتی مختلفی جهت حذف فلزات سنگین نظیر ترسیب شیمیایی و فیلتراسون، تصفیه الکتروشیمیایی، استخراج حلال، کاربرد تکنولوژی غشایی، تبادل یون، جذب سطحی روی کربن فعال و تبخیر مورد استفاده واقع شده است (۷و۸). حذف فلزات سنگین بوسیله باند شدن غیرفعال بر روی مواد زیستی غیرزنده تحت عنوان جذب زیستی در دهه اخیر توجه زیادی را به خود معطوف داشته است زیرا این فرآیند مزایایی زیادی نظیر خواهان محیط زیست، هزینه کم، موجود بودن، سهولت بهره برداری و انتخابگری در قیاس با روش‌های سنتی دارد (۹و۱۰). علاوه بر این کاربرد، بیومس مرده مستقل از نوترینت است و نگهداری بیومس غیرزنده در محیط باسمیت زیاد خیلی ساده است (۱۱). پلیمرهای زیستی نظیر آلزینات سدیم، کیتوزان و غیره می‌توانند فلزات سنگین را از محلولهای آبی حذف کنند و به عنوان جاذب زیستی مطرح باشند. پلیمرهای زیستی تمامی مزایایی جاذب زیستی را دارند و بنابراین قدرت رقابت زیادی با روش‌های سنتی حذف فلزات نظیر تبادل یون و کربن فعال دارند (۳). آلزینات یک پلیمر زیستی خطا از α-L-β-D-mannuronic(m) متناوب ایگوپلیمرهای

۳-۲- پیش زمینه تئوریکی: تعادل بین یونهای فلزی جذب شده و یونهای فلزی جذب نشده در محلول را می‌توان بوسیله مدل‌های ایزوترم جذب توصیف نمود(۱۵). مدل‌های ایزوترم مختلفی نظیر لانگموم، فروندلیخ، بت^۳ و دوبینین رادوشویچ^۴ جهت توصیف تعادل جذب استفاده شدند. شکل خطی ایزوترم لانگموم به صورت زیر است:

$$\frac{C_e}{q_e} = \frac{1}{kq_m} + \frac{C_e}{q_m}$$

به طوریکه q_e (mg/g) میزان یونهای فلزی جذب شده به ازای واحد وزن جاذب است و C_e (mg/g) غلظت یونهای فلزی جذب نشده در محلول است. Q_m (mg/g) ماکریم میزان ماده جذب شونده به ازای واحد وزن جاذب شکل گیری یک لایه یونهای فلزی بر روی سطح جاذب و k (L/mg) به تمایل محل های جذب مربوط است. شکل خطی مدل ایزوترم فروندلیخ به

صورت زیراست:

$$\log q_e = \log k_F + \frac{1}{n} \log C_e$$

به طوریکه n ثابت‌های فروندلیخ هستند که به ترتیب بیانگر شدت جذب و ظرفیت جذب می‌باشند(۱۵ و ۱۶). بعلاوه جهت بسط مدل لانگموم از شکل جذب تک لایه به لایه‌های مولکولی چندگانه، شکل خطی معادله بت به صورت زیر به کار برده شده است:

$$\frac{C}{(C_s - C)q_e} = \frac{1}{BQ^0} + \left(\frac{B-1}{BQ^0}\right) \left(\frac{C}{C_s}\right)$$

به طوریکه C_s (mg/L) غلظت اشباع یونهای فلزی محلول، C (mg/L) غلظت یونهای فلزی محلول در حالت تعادل، Q^0 (mg/g) میزان یونهای فلزی جذب شده جهت شکل گیری

غلظت دلخواه کروم(VI) در آزمایشات یک محلول استوک با غلظت $K_2Cr_2O_7$ ۱۰۰۰ mg/l تهیه گردید. میزان pH بوسیله ۰/۱ HCl و ۰/۱ NaOH در ابتدای آزمایش در عدد دلخواه تنظیم گردید. یک فلاسک کنترل بدون جاذب جهت تعیین حذف کروم(VI) در غیاب جاذب استفاده شد. همه آزمایشات جذب زیستی سه بار تکرار شد تا از دقت و صحت نتایج اطمینان حاصل شود. نمونه‌های جمع آوری شده از فلاسکهای ارلن مایر فیلتر شدند، سپس نمونه‌های فیلتر شده جهت تعیین میزان یونهای کروم(VI) باقیمانده با استفاده از متکالریتمتر و با استفاده از اسپکتروفوتومتر UV/visible (UNICO, ۲۱۰۰) در طول موج ۵۴۰ nm با توجه به روش‌های استاندارد آزمایش آب و فاضلاب مورد آنالیز واقع شدند(۱۳). میزان کروم(VI) جذب شده به صورت میلیگرم کروم(VI) بر واحد وزن جاذب با استفاده از رابطه زیر محاسبه گردید.

$$q = \frac{(C_0 - C)V}{M}$$

به طوریکه q میزان کروم (VI) جذب شده بر روی واحد وزن جاذب به صورت میلیگرم بر گرم است، C_0 و C به ترتیب غلظت اولیه یونهای کروم (VI) در محلول به صورت میلیگرم بر لیتر و پس از جذب زیستی است، V حجم محلول (L) و M وزن بیومس (g) است (۱۴).

۲-۲- خصوصیات جاذب زیستی: دانه‌های آلزینات کلسیم با استفاده از میکروسکوپ الکترونی^۱ (مدل Philips CL30) جهت مطالعه شکل، قطر دانه‌ها و جزئیات سطح دانه‌ها مشاهده شدند. همچنین آنالیز طیف مادون قرمز با استفاده از قرص KBr و نمونه آسیاب شده بوسیله دستگاه اسپکتروفوتومتر مادون قرمز^۲ (مدل VECTOR 33) انجام گرفت. طیف مادون قرمز در ناحیه ۵۰۰-۴۰۰۰ cm^{-۱} ثبت گردید.

- 1.Scanning Electron Microscopy (SEM)
- 2.Fourier Transform Infrared (FT-IR)
- 3.BET
- 4.Dubinin-Raduhkevich

جذب زیستی کروم با بزرگنمایی 50×10000 نشان داده شده است. می‌توان یک سطح هموژن با مساحت سطح بزرگ جهت دانه‌های آلزینات کلسیم در نمودار (1) و (2) مشاهده کرد.

۲-۳-آنالیز اسپکتروفوتومتر مادون قرمز: آنالیز اسپکتروفوتومتر مادون قرمز قبل و بعد از جذب زیستی کروم بر روی آلزینات کلسیم با توجه به نمودار ۲ نشان داده شده است. در نمودار (1) و (2) ۲ جابجایی عدد موج از 1650 cm^{-1} به 1607 cm^{-1} که نشان دهنده کروم کربوکسیل (C=O) است نشان داد که این گروه می‌تواند نقش مهمی در باند شدن کروم (VI) ایفا کند. علاوه بر این، آنالیز اسپکتروفوتومتر مادون قرمز پس از جذب زیستی کروم نشان داد که باند موجود در 3417 cm^{-1} باند قابل توجهی در جذب زیستی کروم (VI) بر روی آلزینات کلسیم است. این باند مرتبط با گروه هیدروکسیل (O-H) ترکیبات پلیمری است که کاهش در شدت جذب یا افزایش میزان عبور طیف مادون قرمز در این باند ممکن است در نتیجه باند شدن گروه هیدروکسیل با فلزات باشد.

۳-۳-تأثیر pH اولیه محلول: در نمودار ۳ تغییرات کروم جذب شده در برابر pH محلول در محدوده ۶-۱۷ نشان داده شده است. در این مطالعه غلظت جاذب ۱ گرم بر لیتر قرار داده شد، و سه غلظت کروم نیز در نظر گرفته شد. با توجه به نمودار ۳ نرخ جذب کروم (VI) برابر با $6/1$ ، $17/0.4$ ، $33/5.3$ میلیگرم بر گرم به ترتیب جهت غلظتها کروم (VI) 100 ، 50 و 10 میلیگرم بر لیتر در pH بهینه 4 بدست آمد. با افزایش pH تا 4 جذب یونهای کروم (VI) افزایش یافت و پس از آن جذب یونهای کروم (VI) کاهش یافت. با توجه به این مطالعه، pH بهینه جهت آزمایشات بعدی را می‌توان 4 در نظر گرفت زیرا در صد حذف کروم در این pH بیشتر است.

۴-۳-نرخ جذب زیستی و تعیین زمان تعادل: تغییرات کروم (VI) جذب شده در برابر زمان در نمودار ۴ با

یک لایه تکی و B ثابت انرژی بین یونهای فلزی و سطح جاذب است. داده‌های تعادلی را همچنین می‌توان با مدل دوبنین رادوشویج توصیف نمود. شکل خطی معادله به صورت زیر است:

$$\ln Q = \ln Q^0 - k\varepsilon^2$$

به طوریکه Q (mol/g) میزان یونهای فلزی جذب شده به ازای واحد وزن جاذب است، k ثابت مرتبط با انرژی جذب سطحی است، ε پتانسیل پلاستی است و Q^0 (mol/g) ظرفیت جذب سطحی است (۱۷). مقادیر Q^0 و K از طریق عرض از مبداء و شبیه نمودار $\ln Q$ در برابر ε محاسبه می‌گردد. متوسط انرژی آزاد جذب (E) از طریق K و با رابطه زیر محاسبه گردید.

$$E = (-2K) - 0.5$$

اگر میزان E بین ۸-۱۶ کیلو ژول بر مول باشد فرآیند جذب زیستی از مکانیسم شیمیابی پیروی می‌کند. در حالی که اگر کمتر از ۸ باشد فرآیند جذب زیستی مکانیسمی فیزیکی خواهد داشت. در این پژوهش

$$\log(q_e - q) = \log q_e - \frac{k_{1ads}}{2.303} t$$

مدلهای سینتیکی

درجه اول و درجه دوم کاذب جهت ارزیابی مکانیسم جذب زیستی به کار برده شدند. شکل خطی رابطه سینتیکی درجه اول کاذب به شکل زیر است:

$$\log(q_e - q) \text{ در برابر } t \text{ مناسب بود} \quad (1)$$

کاذب درجه اول را بیان می‌کند. رابطه درجه دوم کاذب به صورت زیر است:

$$\frac{t}{q} = \frac{1}{k_{2ads} q_e^2} + \frac{1}{q_e} t$$

به طوریکه K_{2ads} (g/mg.min) ثابت سرعت است. اگر رابطه درجه دوم کاذب مناسب باشد نمودار t/q در برابر t به صورت خطی خواهد بود (۱۸، ۱۵، ۳).

یافته‌ها

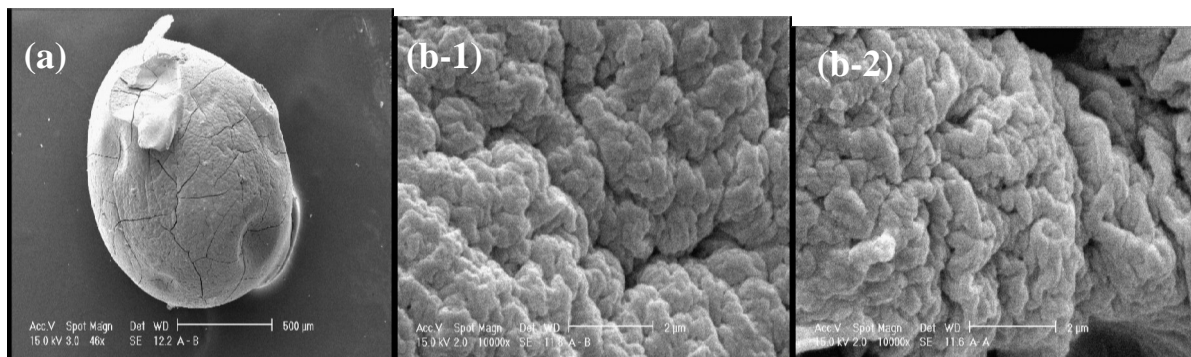
۱-آنالیز میکروسکوپ الکترونی: تصاویر میکروسکوپ الکترونی از سطح دانه‌های آلزینات کلسیم در نمودار ۱ قبل و بعد از

گرم بدست آمد. همچنین در این زمان درصد حذف کروم (VI) جهت غلظتهای کروم ۱۰، ۵۰ و ۱۰۰ میلی گرم بر لیتر به ترتیب ۵۷/۸، ۴۲/۹ و ۳۵/۱۴ درصد بدست آمد.

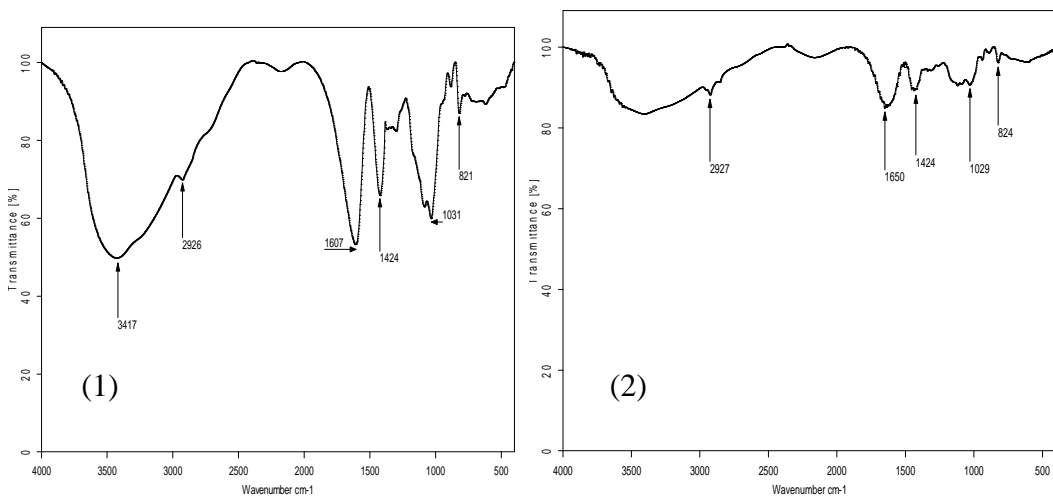
۵-۳-۵-۳- مطالعات ایزوترم: آزمایشات ایزوترم جذب با غلظت آلزینات کلسیم یک گرم در لیتر، $pH=4$ و غلظت اولیه کروم (VI) بین ۱۰ تا ۳۰۰ میلی گرم بر لیتر طی زمان تماس ۱۲۰ دقیقه صورت گرفت. در نمودار ۵ تغییرات نرخ جذب زیستی و درصد حذف کروم (VI) در برابر غلظت یون فلزی به تصویر کشیده شده است.

غلظتهای کروم ۱۰، ۵۰ و ۱۰۰ میلی گرم بر لیتر، غلظت ثابت جاذب ۱ گرم بر لیتر و $pH=4$ نشان داده شده است. در نمودار ۴ نشان داده شده است که جذب یونهای کروم (VI) با افزایش زمان افزایش می‌یابد و پس از طی ۱۲۰ دقیقه به حالت تعادل می‌رسد.

بنابراین آزمایشات بعدی را می‌توان بر اساس زمان تعادل بدست آمده انجام داد. در این زمان نرخ جذب زیستی کروم (VI) جهت غلظتهای کروم ۱۰، ۵۰ و ۱۰۰ میلی گرم بر لیتر به ترتیب ۳۵/۱۴، ۲۱/۴۵ و ۵/۷۸ میلی گرم بر



شکل ۱- تصاویر میکروسکوپ الکترونی دانه‌های آلزینات کلسیم (a) و سطح دانه‌ها (b) قبل (۱) و بعد (۲) از جذب زیستی کروم (VI)



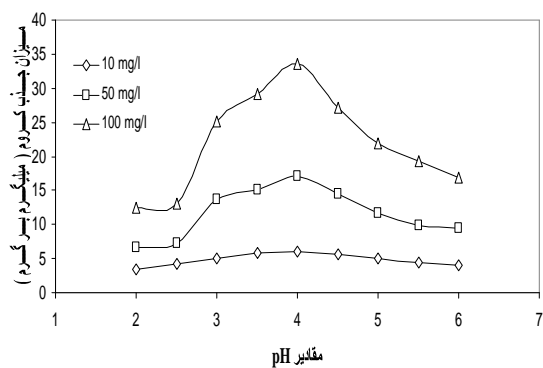
نمودار ۱: طیف اسپکتروفوتومتر مادون قرمز آلزینات کلسیم قبل (۱) و بعد از (۲) جذب زیستی کروم (VI)

در این نمودار افزایش نرخ جذب به صورت میلیگرم بر گرم و کاهش راندمان حذف با افزایش غلظت کروم نشان داده شده است. مقادیر ثابت‌های ایزوترم و ماکریتم ظرفیت جذب(q_{max}) در جدول ۱ آورده شده است. داده‌های جدول ۱ با توجه به ضریب همبستگی نشان داد که تمامی ایزوترمهای مورد مطالعه تطابق مطلوبی با داده‌های آزمایشگاهی داشته‌اند ($R^2 > 0.9$). با توجه به ایزوترم لانگموئر، ماکریتم ظرفیت جذب(q_{max}) آلزینات کلسیم جهت جذب زیستی کروم(VI) برابر $84/75$ میلیگرم بر گرم بدست آمد.

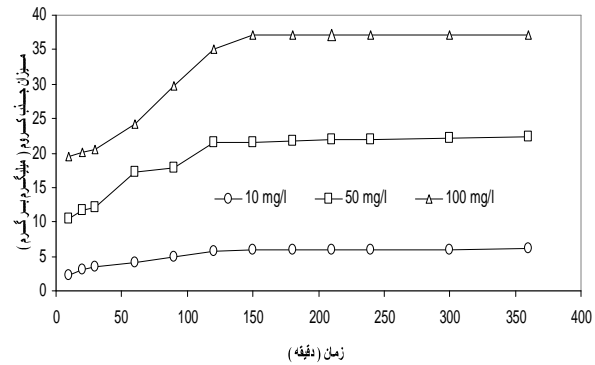
جدول شماره ۱: پارامترهای ایزوترم بدست آمده جهت جذب زیستی

کروم(VI) بر روی آلزینات کلسیم	
نوع مدل ایزوترم	مقادیر
ایزوترم لانگموئر	
q_m	$84/75$
b	$0/013$
R^2	$0/959$
ایزوترم فروندلیخ	
K_f	$2/08$
n	$1/56$
R^2	$0/982$
بت ایزوترم	
Q	$86/688$
B	1312
R^2	$0/958$
دوبنین رادوشویچ ایزوترم	
k	6×10^{-9}
Q^o	$0/00593$
E	$9/129$
R^2	$0/994$

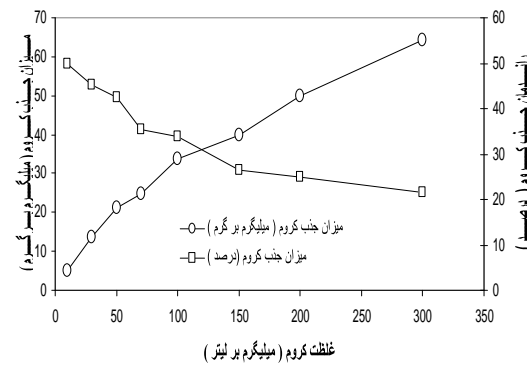
علاوه بر این داده‌های تعادلی با مدل دوبنین رادوشویچ جهت تعیین نوع فرآیند جذب زیستی تطبیق داده شدند. با توجه به این مدل، مقدار E جهت جذب زیستی کروم (VI) بر روی آلزینات کلسیم $9/129$ کیلو ژول بر مول بدست آمد که



نمودار شماره ۲- تغییرات غلظت یون کروم(VI) جذب شده در برابر pH=۲-۶، زمان تماس= ۳۶۰= ۳۶۰ دقیقه، سرعت اختلاط= ۱۵۰ دور در دقیقه، غلظت کروم= $100-100$ میلی گرم بر لیتر



نمودار شماره ۳- تغییرات یونهای کروم (VI) جذب شده در برابر زمان، زمان تماس= ۳۶۰ دقیقه، pH= ۴، سرعت اختلاط= ۱۵۰ دور در دقیقه و غلظت کروم= $100-100$ میلی گرم بر لیتر



نمودار شماره ۴- تغییرات نرخ جذب زیستی و درصد حذف کروم(VI) در برابر غلظت یونهای کروم(VI)، pH= ۴، سرعت اختلاط= $100-100$ میلی گرم بر لیتر، زمان تماس= ۱۲۰ دقیقه، سرعت اختلاط= ۱۵۰ دور در دقیقه و دوزاژ جاذب= ۱ گرم بر لیتر

است (۱۱). pH بهینه ۴ بدست آمده در این مطالعه به ساختار جاذب مرتبط است. ساختار آلزینات کلسیم مدل شانه تخم مرغی^۱ را نشان می‌دهد که این مدل حاوی گروههای کربوکسیل است که این گروه pH تمایل به یونیزاسیون در pH بالای ۴ دارند بنابراین در مقادیر pH بالای ۴ نرخ جذب کروم (VI) کاهش نشان داد. به علت رسیدن به حالت تعادل در طی ۱۲۰ دقیقه می‌توان نتیجه گرفت که نرخ جذب زیستی کروم(VI) بر روی آلزینات کلسیم نرخ متوسطی بوده است. اگر چه در مطالعه‌ای دیگر، Nityanandi و Subbharaam (۶) نشان دادند که جذب کروم(VI) بر روی پورزورب^۲ طی ۲۳۰ دقیقه به تعادل می‌رسد. زمان تعادل یک پارامتر مهم اقتصادی در راکتور مقیاس کامل است که زمان تعادل کوتاه‌تر منجر به حجم کمتر راکتور و صرف‌جویی اقتصادی فرآیند جذب زیستی می‌گردد.

تمامی ایزوترم‌های مورد مطالعه تطابق مطلوبی با داده‌های آزمایشگاهی داشته‌اند. در میان مدل‌های مذکور مدل ایزوترم فرون‌دلیخ توصیف قابل اعتمادتری از جذب زیستی بوسیله مواد آلی بیان می‌کند زیرا این مدل محل‌های جذب مختلف و بر همکنش آنها، هتروژن بودن سطح جاذب و متغیر بودن انرژی سطح جاذب و محل‌های جذبی را توصیف می‌نماید (۲، ۱۶ و ۱۷) و Li⁺ و همکاران (۲۰) نشان دادند که جذب زیستی کروم (VI) بر روی سینکوکوس^۳ از مدل فرون‌دلیخ تعیت می‌کند.

بر اساس ایزوترم لانگموئرف ماکزیمم ظرفیت جذب کروم Yakup Arica (VI) mg/g ۸۴/۷۵ بدست آمد. (۱۴) ماقزیمم ظرفت جذب برابر با mg/g ۲۱/۲ جهت جذب زیستی کروم(VI) بر روی کلامیدوموناس رینهارتی^۴ پیش تصفیه شده با اسید بدست آمد که از مقدار بدست آمده در این پژوهش

- 1.egg-box
- 2.Puresorbe
- 3.Synechococcus sp
- 4.Chlamydomonas reinhardtii

بيانگر این است که فرآيند جذب کروم (VI) بر روی آلزینات کلسیم فرآيند شیمیایی است (۱۷).

۶-۳- مطالعات کینتیک: از آنجا که رسیدن به زمان تعادل مستقل از غلظت کروم(VI) بوده است (۱۹)، آزمایشات کینتیک با غلظت ۵۰ میلیگرم بر لیتر کروم (VI)، غلظت ثابت جاذب ۱ گرم بر لیتر و pH بر ابر ۴ صورت پذیرفت. در جدول ۲ ضرایب همبستگی و پارامترهای کینتیکی جذب کروم بر روی آلزینات کلسیم نشان داده شده است. ضرایب همبستگی بدست آمده مناسب بودن مدل درجه دوم کاذب را در قیاس با مدل درجه اول کاذب نشان می‌دهد.

جدول شماره ۲- پارامترهای بدست آمده از مدل‌های کینتیک جهت جذب زیستی کروم (VI) بر روی آلزینات کلسیم

نوع مدل کینتیک	مقادیر
مدل درجه اول کاذب	
R^2	۰/۹۳۳
$k_{1,ad} (\text{min}^{-1})$	۰/۰۲
$q_e (\text{mgg}^{-1})$	۱۵/۱۱
مدل درجه دوم کاذب	
R^2	۰/۹۷۲
$K_{2,ad} (\text{gmg}^{-1}\text{min}^{-1})$	۰/۰۰۱۹۸
$q_e (\text{mgg}^{-1})$	۲۳/۸۱

بحث و نتیجه‌گیری

بر اساس آنالیز میکروسکوپ الکترونی مورفو‌لوژی دانه‌های آلزینات کلسیم دارای ساختاری کروی با قطر تقریباً یک میلی متر و سطحی هموژن است. همچنین peretz و همکاران (۱۲) در مطالعه شان ساختاری هموژن و تا اندازه‌ای متراکم جهت آلزینات گزارش نمودند.

بر اساس آنالیز اسپکتروفوتومتر مادون قرمز نقش گروههای کربوکسیل و هیدروکسیل در پروسه جذب زیستی به اثبات رسید. گروههای کربوکسیل در ساختار آلزینات کلسیم حضور دارند. اهمیت گروههای کربوکسیل در باند شدن با فلزات سنگین قبل اثبات شده

برهمکنش شیمیایی بین گروههای عملکردی و یونهای فلزی است. بنابراین کاربرد مدل درجه دوم کاذب جهت فرآیند جذب زیستی مناسب تر است. مدل درجه دوم کاذب فرض را بر این قرار داده است که در فرآیند جذب زیستی دو واکنش رخ می‌دهد: واکنش اول که سریع است و واکنش دوم که کندتر است و در زمان مواجهه طولانی تر ادامه می‌یابد (۲۲). بهطور کلی و با توجه به q_{max} بدست آمده در این مطالعه در قیاس با دیگر مطالعات، مناسب بودن آلزینات کلسیم جهت حذف و بازیافت کروم(VI) از محلولهای آبی نشان داده شد.

تشکر و قدردانی

نویسنده‌گان این مقاله از حمایت مالی دانشگاه علوم پزشکی لرستان و همکاری دانشگاه تربیت مدرس قدردانی می‌نمایند.

کمتر است. مدل ایزوترم بت، مدل لانگمئور را از یک مدل جذب تک لایه ای به مدل جذب چند لایه‌ای بسط می‌دهد. فرض شده است که بر روی هر لایه تکی شکل گرفته، هر لایه اضافی از ماده جذب شونده با استفاده از لایه زیرین خود تعادل می‌یابد. بنابراین حضور همزمان لایه‌های با ضخامت مختلف ممکن می‌گردد(۲۱). متوسط انرژی آزاد جذب (E) بدست آمده نشان داد که جذب زیستی کروم (VI) بر روی آلزینات کلسیم از مکانیسم شیمیایی تبعیت کرده است. همچنین نشان داده شد که مدل کینتیک درجه دوم کاذب نسبت به مدل درجه اول کاذب جهت مراحل اولیه جذب زیستی مناسب است و برای توصیف تمامی مدت زمان جذب زیستی مطلوب نیست. جذب زیستی در بردارنده مکانیسم‌های متعددی نظیر برهمکنش الکترواستاتیک و

References

- Fuks L, Filipiuk D, Majdan M. Transition metal complexes with alginate biosorbent, *J Mol Struct*, 2006; 792–793:104–109.
- Gok C, Aytas S. Biosorption of uranium (VI) from aqueous solution using calcium alginate beads. *J. Hazard. Mater.* 2009;168: 369–375.
- Vijaya Y, Popuri SR, Boddu VM, Krishnaiah A. Modified chitosan and CA biopolymer sorbents for removal of nickel (II) through adsorption. *Carbohyd Poly.* 2008;72:261–271.
- Namasivayam C, Sureshkumar MV. Removal of chromium (VI) from water and wastewater using surfactant modified coconut coir pith as a biosorbent. *Bioresour Technol.* 2008;99: 2218–2225.
- Lakshmanraj L, Gurusamy A, Gobinath MB, Chandramohan R, Studies on the biosorption of hexavalent chromium from aqueous solutions by using boiled mucilaginous seeds of *Ocimum americanum*. *J Hazard Mater.* 2009;169: 1141–1145.
- Nityanandi D, Subbhuraam CV. Kinetics and thermodynamic of adsorption of chromium(VI) from aqueous solution using puresorbe. *J Hazard Mater.* 2009;170:876–882.
- Abu Al-Rub FA, El-Naas MH, Benyahia F, Ashour I. Biosorption of nickel on blank alginate beads, free and immobilized algal cells. *Process Biochem.* 2004;39:1767–1773.
- Rangsayatorn N, Pokethitiyook P, Upatham ES, Lanza GR. Cadmium biosorption by cells of *Spirulina platensis* TISTR 8217 immobilized in alginate and silica gel. *Environ Int.* 2004;30: 57–63.
- ?nal S, Baysal SH, Ozdemir G. Studies on the applicability of alginate-entrapped *Chryseomonas luteola* TEM 05 for heavy metal biosorption. *J Hazard Mater.* 2007;146: 417–420.
- Lai Y-L, Annadurai G, Huang F-H, Lee J-F. Biosorption of Zn(II) on the different Ca-alginate beads from aqueous solution. *Bioresour Technol.* 2008;99:6480–6487.
- Mata YN, Bl?zquez ML, Ballester A, Gonz?lez F, Mu?oz JA. Biosorption of cadmium, lead and copper with calcium alginate xerogels and immobilized *Fucus vesiculosus*. *J Hazard Mater.* 2009;163: 555–562.
- Peretz S, Cinteza O. Removal of some nitrophenol contaminants using alginate gel beads. *Colloid Surfaces Physicochem Eng Aspect.* 2008;319: 165–172.
- APHA, AWWA, WEF, Standard methods for the examination of water and wastewater, 21th Edition, Washington, DC, 2005.
- Yakup Arica M, İlhami T, Emine Y, ?zlem İ, Gülay B. Utilization of native, heat and acid-treated microalgae *Chlamydomonas reinhardtii* preparations for biosorption of Cr(VI) ions. *Process Biochem.* 2005;40: 2351–2358.
- Aksu Z. Biosorption of reactive dyes by dried activated sludge: equilibrium and kinetic modeling. *Biochem Eng J.* 2001;7:79–84.
- Aksu Z, Açıkel U, Kabasakal U, Tezer S. Equilibrium modelling of individual and simultaneous biosorption of chromium(VI) and nickel(II) onto dried activated sludge. *Wat Res.* 2002;36: 3063–3073.

17. Kumar Nadavala S, Swayampakula K, Boddu VM, Abburia K. Biosorption of phenol and o-chlorophenol from aqueous solutions on to chitosan–calcium alginate blended beads. *J Hazard Mater.* 2009;162: 482–489.
18. Xiangliang P, Jianlong W, Daoyong Z. Biosorption of Pb(II) by Pleurotus ostreatus immobilized in calcium alginate gel. *Process Biochem.* 2005;40: 2799–2803.
19. Anirudhan TS, Suchithra PS. Heavy metals uptake from aqueous solutions and industrial wastewaters by humic acid-immobilized polymer/bentonite composite: Kinetics and equilibrium modeling. *Chem Eng J.* 2010;156:146–156.
20. Li H, Li Z, Liu T, Xiao X, Peng Z, Deng L. A novel technology for biosorption and recovery hexavalent chromium in wastewater by bio-functional magnetic beads. *Bioresour Technol.* 2008;99:6271–6279.
21. Crittenden JC, Trussell R, Hand DW, Howe KJ, Tchobanoglous G, Water treatment: principles and design, 2nd Edition, Jhon wiley & Sons, 2005.
22. Khambhaty Y, Mody K, Basha S, Jha B, Kinetics, equilibrium and thermodynamic studies on biosorption of hexavalent chromium by dead fungal biomass of marine *Aspergillus niger*. *Chem Eng J.* 2009;145:489–495.

This document was created with Win2PDF available at <http://www.daneprairie.com>.
The unregistered version of Win2PDF is for evaluation or non-commercial use only.